

**Universidade Federal do Rio de Janeiro**  
**Instituto Alberto Luiz Coimbra de**  
**Pós-Graduação e Pesquisa de Engenharia**



**Programa de Engenharia de Sistemas e**  
**Computação**

**COS868 - Probabilidade e Estatística para Aprendizado de**  
**Máquina**

**Profa. Dra. Rosa M. Leão (PESC/COPPE/UFRJ)**

***Projeto do Curso***

Luiz Henrique Souza Caldas  
email: lhscaldas@cos.ufrj.br

27 de dezembro de 2024

# Conteúdo

<b>1</b>	<b>Introdução</b>	<b>3</b>
1.1	Objetivo . . . . .	3
1.2	Análise Exploratória dos Dados . . . . .	3
1.3	Pré-processamento . . . . .	4
<b>2</b>	<b>Estatísticas Gerais</b>	<b>5</b>
2.1	Medidas Descritivas . . . . .	5
2.2	Visualizações Gráficas . . . . .	5
2.3	Análise dos Resultados . . . . .	7
<b>3</b>	<b>Estatísticas por Horário</b>	<b>9</b>
3.1	Medidas Descritivas . . . . .	9
3.2	Visualizações Gráficas . . . . .	11
3.3	Análise dos Resultados . . . . .	14
<b>4</b>	<b>Caracterizando os Horários com Maior Valor de Tráfego</b>	<b>15</b>
4.1	Passo 1: Seleção dos Horários . . . . .	15
4.2	Passo 2: Histogramas dos Dados . . . . .	15
4.3	Passo 3: Estimativa de Parâmetros via MLE . . . . .	16
4.4	Passo 4: Gráficos de Densidade . . . . .	17
4.5	Passo 5: Probability Plots . . . . .	18
4.6	Passo 6: QQ Plots . . . . .	18
4.7	Análise dos Resultados . . . . .	19
<b>5</b>	<b>Códigos</b>	<b>20</b>

# 1 Introdução

## 1.1 Objetivo

O objetivo deste trabalho é realizar uma análise de um conjunto de dados reais fornecidos por um provedor de Internet de médio porte, avaliando as taxas de upload e download de dispositivos domésticos, especificamente Smart-TVs e Chromecasts, com base na teoria aprendida em classe, destacando a importância de uma análise crítica dos resultados obtidos.

## 1.2 Análise Exploratória dos Dados

A análise exploratória foi realizada para compreender as características principais dos dados obtidos dos dispositivos Smart TV e Chromecast. Os resultados estão detalhados abaixo:

- Primeiras linhas dos dados:

- Smart TV:

	device_id	date_hour	bytes_up	bytes_down
0	77209603	2021-11-22 15:23:00	132932.983607	2.818140e+06
1	77209603	2021-11-22 15:24:00	115770.491803	2.264410e+06
2	77209603	2021-11-22 15:25:00	114030.032787	2.309270e+06
3	77209603	2021-11-22 15:26:00	97170.622951	2.006544e+06
4	77209603	2021-11-22 15:27:00	39569.573770	8.061440e+05

- Chromecast:

	device_id	date_hour	bytes_up	bytes_down
0	66161985	2021-09-06 00:01:00	2987.016393	49185.704918
1	66161985	2021-09-06 00:02:00	685.935484	328.258065
2	66161985	2021-09-06 00:03:00	4493.901639	37914.064516
3	66161985	2021-09-06 00:04:00	776.133333	229.200000
4	66161985	2021-09-06 00:05:00	3081.311475	51656.800000

- Dimensões dos dados:

- Smart TV: (4417903, 4)
  - Chromecast: (1620529, 4)

- Dados faltantes:

- Smart TV: Nenhum valor faltante em `device_id`, `date_hour`, `bytes_up`, `bytes_down`.
  - Chromecast: Nenhum valor faltante em `device_id`, `date_hour`, `bytes_up`, `bytes_down`.

- Valores zero:

- Smart TV: `bytes_up` = 1.803.853, `bytes_down` = 1.978.337.

- Chromecast: `bytes_up` = 6.057, `bytes_down` = 4.099.
- **Valores negativos:**
  - Smart TV: Nenhum valor negativo em `bytes_up` ou `bytes_down`.
  - Chromecast: Nenhum valor negativo em `bytes_up` ou `bytes_down`.

### 1.3 Pré-processamento

O pré-processamento foi realizado para preparar os dados dos dispositivos Smart TV e Chromecast para análises posteriores. As etapas realizadas são descritas a seguir:

- **Carregamento dos dados:** Os dados foram lidos a partir dos arquivos `dataset_smart-tv.csv` e `dataset_chromecast.csv`.
- **Correção de valores zero:** Como as colunas `bytes_up` e `bytes_down` apresentavam valores zero, foi aplicado um *shift* de +1 a todos os valores dessas colunas para evitar problemas no cálculo do logaritmo.
- **Reescalonamento dos dados:** Os valores das colunas `bytes_up` e `bytes_down` foram transformados para a escala logarítmica na base 10 ( $\log_{10}$ ), devido à grande variação na ordem de grandeza desses valores.
- **Ordenação temporal:** Os dados foram ordenados pela coluna `date_hour` para garantir a consistência temporal nas análises subsequentes.
- **Salvamento dos dados processados:** Os datasets resultantes podem ser salvos como arquivos CSV (`smart_preprocessado.csv` e `chrome_preprocessado.csv`) para uso posterior.

Essa etapa garante que os dados estejam limpos, reescalonados e organizados, facilitando análises estatísticas e a geração de gráficos. Além disso, a transformação logarítmica reduz a influência de valores extremos, melhorando a interpretação dos resultados.

## 2 Estatísticas Gerais

Nesta seção, são apresentadas as estatísticas gerais dos dados coletados para os dispositivos Smart TV e Chromecast. As análises incluem cálculos de medidas descritivas, como média, variância e desvio padrão, além de representações gráficas através de histogramas, boxplots e funções de distribuição empírica (ECDF).

### 2.1 Medidas Descritivas

As medidas descritivas para as taxas de upload e download (em escala logarítmica base 10) estão resumidas na Tabela 1.

**Tabela 1:** Medidas descritivas das taxas de upload e download.

Dispositivo	Tipo de Tráfego	Média	Variância	Desvio Padrão
Smart TV	Upload	2.16	4.11	2.03
Smart TV	Download	2.35	6.72	2.59
Chromecast	Upload	3.35	0.46	0.68
Chromecast	Download	3.80	1.66	1.29

### 2.2 Visualizações Gráficas

Para compreender melhor a distribuição dos dados, são utilizadas as seguintes representações gráficas:

- **Histogramas:** As distribuições das taxas de upload e download para cada dispositivo estão representadas nos histogramas da Figura 1.
- **Boxplots:** A Figura 2 mostra os boxplots comparando as taxas de upload e download entre Smart TV e Chromecast.
- **ECDF:** As funções de distribuição empírica, exibidas na Figura 3, demonstram a probabilidade acumulada para cada valor das taxas.

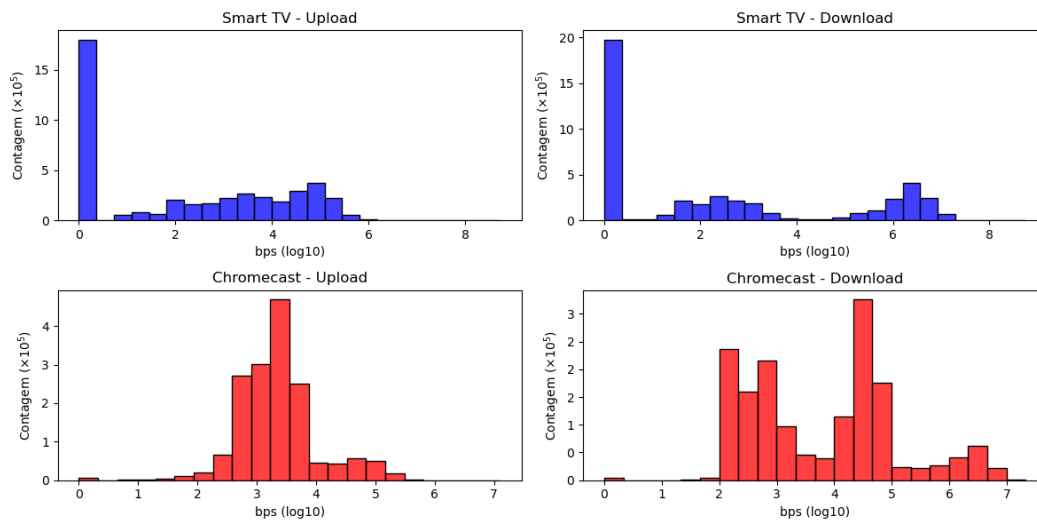
Para a construção dos histogramas, o número de bins foi calculado utilizando o método de Sturges:

$$k = 1 + \log_2(n), \quad (1)$$

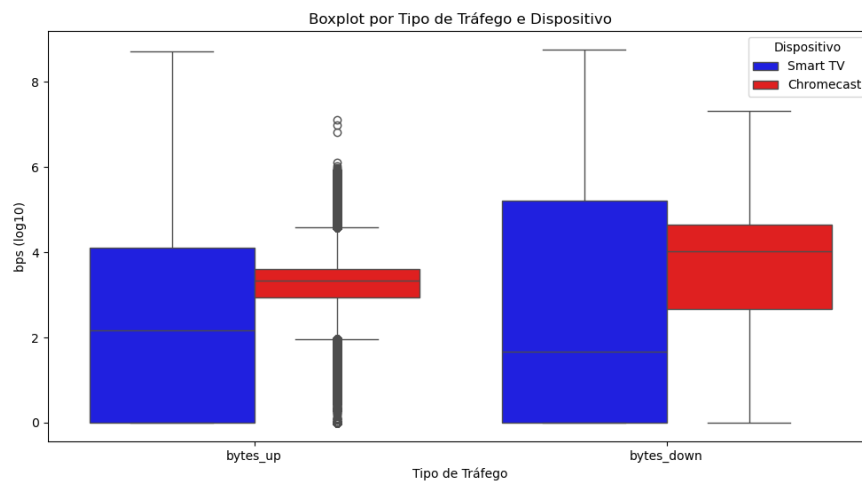
onde  $n$  é o número total de amostras. Este método busca otimizar a visualização dos dados ao balancear granularidade e clareza.

O número de bins calculado para cada dispositivo é o seguinte:

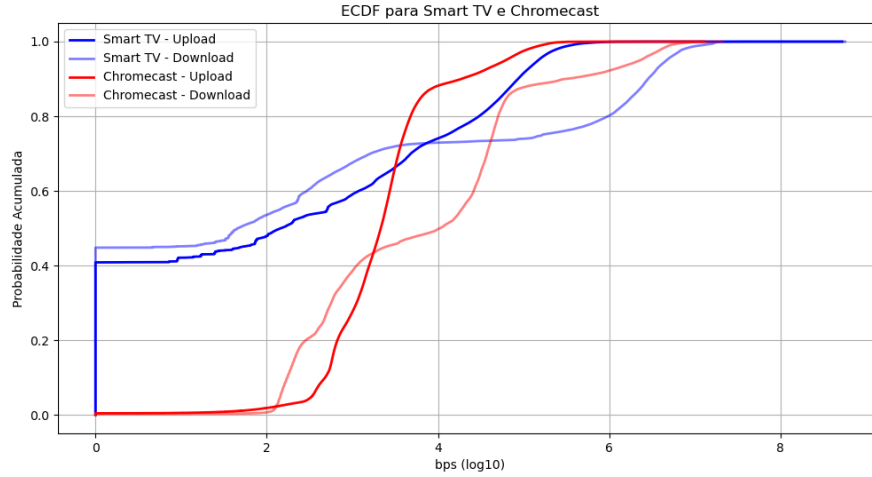
- **Smart TV:**  $k = 24$  bins.
- **Chromecast:**  $k = 22$  bins.



**Figura 1:** Histogramas das taxas de upload e download para Smart TV e Chromecast.



**Figura 2:** Boxplots das taxas de upload e download para Smart TV e Chromecast.



**Figura 3:** Funções de Distribuição Empírica (ECDF) das taxas de upload e download.

## 2.3 Análise dos Resultados

Os resultados destacam diferenças importantes nas características das taxas de upload e download entre os dispositivos Smart TV e Chromecast.

- **Smart TV:** As taxas de upload e download da Smart TV possuem médias parecidas e variâncias relativamente altas, indicando uma dispersão maior dos dados. As taxas estão predominantemente concentradas em valores baixos, especialmente em valores iguais a zero, conforme já havia sido evidenciado na Análise Exploratória dos Dados (Seção 1.2). Essa característica é refletida na primeira barra dos histogramas (Figura 1), que é consideravelmente maior do que as demais. No boxplot (Figura 2), essa concentração é representada pela proximidade do limite inferior ao primeiro quartil ( $Q1$ ). Na mesma figura também, é possível observar a ausência de outliers nos dois tipos de tráfego. Além disso, a ECDF (Figura 3) apresenta um valor inicial relativamente alto, superior a 0.4, devido à grande quantidade de valores nulos, crescendo de forma lenta até chegar ao valor máximo.
- **Chromecast:** As taxas de upload e download do Chromecast também possuem médias próximas, mas apresentam desvios padrão relativamente baixos, indicando uma dispersão menor dos dados. A taxa de download (`bytes_down`) exibe uma variância maior do que a de upload (`bytes_up`). A taxa de upload apresenta muitos outliers, tanto para valores altos (picos) quanto para valores baixos (vales), como destacado no boxplot (Figura 2), enquanto a taxa de download não possui nenhum. A ECDF (Figura 3) reflete essa característica, apresentando um crescimento rápido após  $10^2$  bps.
- **Comparação Geral:** A Smart TV e o Chromecast apresentam diferenças marcantes em seus padrões de tráfego. Enquanto a Smart TV concentra grande parte de seus dados em valores baixos, com ausência de outliers, o Chromecast exibe menor dispersão geral, mas com muitos outliers na taxa de upload. A ECDF da Smart TV cresce de forma lenta devido aos valores nulos iniciais, enquanto a do Chromecast apresenta um crescimento rápido após  $10^2$

bps, refletindo uma concentração maior em valores intermediários. Essas diferenças sugerem que a Smart TV alterna entre períodos de inatividade e altos fluxos, enquanto o Chromecast apresenta tráfego mais estável, mas com picos e vales ocasionais no upload.

Essas observações podem auxiliar no desenvolvimento de estratégias de gerenciamento de rede mais eficientes, considerando a alta variabilidade e períodos de inatividade da Smart TV, e os picos de tráfego ocasionais no upload do Chromecast. Adaptar essas estratégias às características específicas de cada dispositivo pode melhorar a alocação de recursos e a experiência do usuário.



### 3 Estatísticas por Horário

Nesta seção, apresentamos as estatísticas por horário, independente do dia, dos dados coletados para os dispositivos Smart TV e Chromecast. As análises incluem cálculos de medidas descritivas, como média, variância e desvio padrão, além da representação gráfica através de boxplots.

#### 3.1 Medidas Descritivas

A Tabela 2 exibe as estatísticas por horário para as taxas de upload e download dos dispositivos Smart TV e Chromecast. As estatísticas incluem a média, variância e desvio padrão para cada hora do dia, separadas por tipo de dispositivo e tipo de tráfego.

**Tabela 2:** Estatísticas por Horário para Smart TV e Chromecast

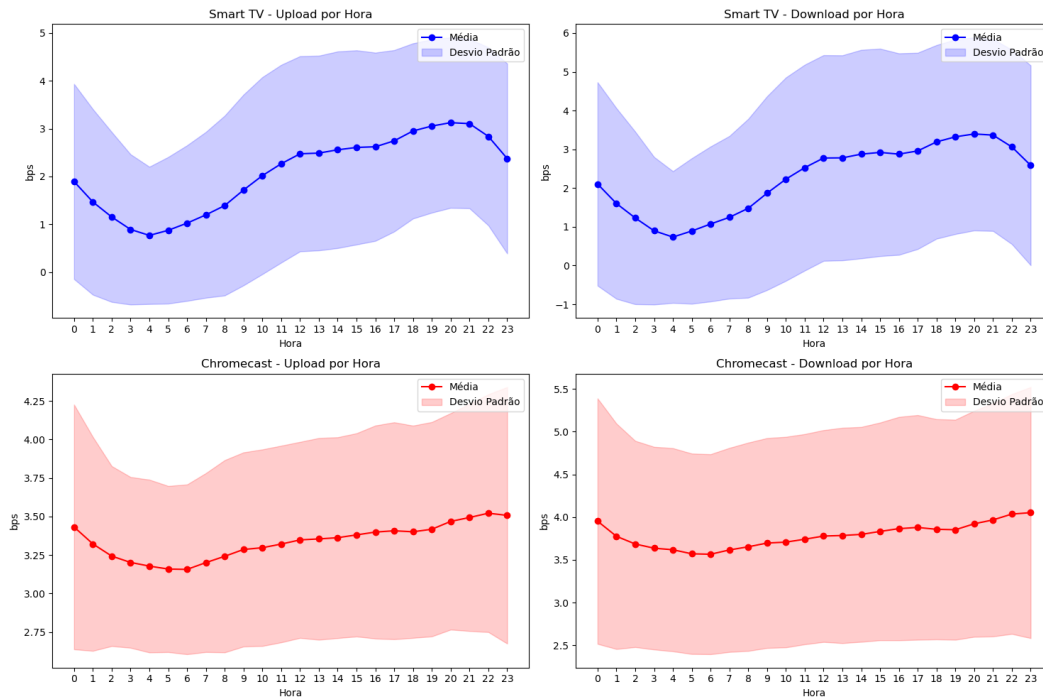
Hora	Dispositivo	Tráfego	Média	Variância	Desvio Padrão
0	Smart TV	Upload	1.89	4.16	2.04
0	Smart TV	Download	2.10	6.89	2.62
0	Chromecast	Upload	3.43	0.63	0.79
0	Chromecast	Download	3.95	2.06	1.44
1	Smart TV	Upload	1.47	3.76	1.94
1	Smart TV	Download	1.60	6.05	2.46
1	Chromecast	Upload	3.32	0.48	0.69
1	Chromecast	Download	3.78	1.74	1.32
2	Smart TV	Upload	1.15	3.15	1.78
2	Smart TV	Download	1.23	4.96	2.23
2	Chromecast	Upload	3.24	0.34	0.58
2	Chromecast	Download	3.69	1.46	1.21
3	Smart TV	Upload	0.89	2.46	1.57
3	Smart TV	Download	0.90	3.63	1.90
3	Chromecast	Upload	3.20	0.31	0.55
3	Chromecast	Download	3.64	1.41	1.19
4	Smart TV	Upload	0.77	2.06	1.43
4	Smart TV	Download	0.74	2.89	1.70
4	Chromecast	Upload	3.18	0.31	0.56
4	Chromecast	Download	3.62	1.41	1.19
5	Smart TV	Upload	0.88	2.35	1.53
5	Smart TV	Download	0.89	3.52	1.88
5	Chromecast	Upload	3.16	0.29	0.54
5	Chromecast	Download	3.57	1.38	1.17
6	Smart TV	Upload	1.02	2.64	1.62
6	Smart TV	Download	1.07	4.00	2.00
6	Chromecast	Upload	3.16	0.30	0.55
6	Chromecast	Download	3.57	1.37	1.17

Hora	Dispositivo	Tipo	Média	Variância	Desvio Padrão
7	Smart TV	Upload	1.20	3.00	1.73
7	Smart TV	Download	1.24	4.40	2.10
7	Chromecast	Upload	3.20	0.34	0.58
7	Chromecast	Download	3.62	1.43	1.19
8	Smart TV	Upload	1.39	3.53	1.88
8	Smart TV	Download	1.48	5.32	2.31
8	Chromecast	Upload	3.24	0.39	0.62
8	Chromecast	Download	3.65	1.49	1.22
9	Smart TV	Upload	1.72	3.97	1.99
9	Smart TV	Download	1.87	6.25	2.50
9	Chromecast	Upload	3.29	0.40	0.63
9	Chromecast	Download	3.70	1.51	1.23
10	Smart TV	Upload	2.02	4.24	2.06
10	Smart TV	Download	2.23	6.88	2.62
10	Chromecast	Upload	3.30	0.41	0.64
10	Chromecast	Download	3.71	1.52	1.23
11	Smart TV	Upload	2.27	4.27	2.07
11	Smart TV	Download	2.53	7.06	2.66
11	Chromecast	Upload	3.32	0.41	0.64
11	Chromecast	Download	3.74	1.51	1.23
12	Smart TV	Upload	2.47	4.16	2.04
12	Smart TV	Download	2.78	7.04	2.65
12	Chromecast	Upload	3.35	0.40	0.64
12	Chromecast	Download	3.78	1.54	1.24
13	Smart TV	Upload	2.49	4.14	2.03
13	Smart TV	Download	2.78	7.00	2.65
13	Chromecast	Upload	3.35	0.43	0.65
13	Chromecast	Download	3.79	1.59	1.26
14	Smart TV	Upload	2.56	4.22	2.05
14	Smart TV	Download	2.88	7.24	2.69
14	Chromecast	Upload	3.36	0.43	0.65
14	Chromecast	Download	3.80	1.58	1.26
15	Smart TV	Upload	2.61	4.12	2.03
15	Smart TV	Download	2.92	7.16	2.68
15	Chromecast	Upload	3.38	0.44	0.66
15	Chromecast	Download	3.83	1.62	1.27
16	Smart TV	Upload	2.62	3.87	1.97
16	Smart TV	Download	2.88	6.76	2.60
16	Chromecast	Upload	3.40	0.48	0.69
16	Chromecast	Download	3.87	1.71	1.31

Hora	Dispositivo	Tipo	Média	Variância	Desvio Padrão
17	Smart TV	Upload	2.74	3.59	1.90
17	Smart TV	Download	2.96	6.42	2.53
17	Chromecast	Upload	3.41	0.50	0.70
17	Chromecast	Download	3.88	1.73	1.32
18	Smart TV	Upload	2.95	3.35	1.83
18	Smart TV	Download	3.19	6.24	2.50
18	Chromecast	Upload	3.40	0.47	0.69
18	Chromecast	Download	3.86	1.66	1.29
19	Smart TV	Upload	3.05	3.28	1.81
19	Smart TV	Download	3.32	6.29	2.51
19	Chromecast	Upload	3.42	0.48	0.70
19	Chromecast	Download	3.85	1.66	1.29
20	Smart TV	Upload	3.12	3.17	1.78
20	Smart TV	Download	3.40	6.20	2.49
20	Chromecast	Upload	3.47	0.49	0.70
20	Chromecast	Download	3.92	1.75	1.32
21	Smart TV	Upload	3.10	3.13	1.77
21	Smart TV	Download	3.37	6.13	2.47
21	Chromecast	Upload	3.49	0.54	0.74
21	Chromecast	Download	3.97	1.86	1.36
22	Smart TV	Upload	2.84	3.46	1.86
22	Smart TV	Download	3.06	6.29	2.51
22	Chromecast	Upload	3.52	0.60	0.77
22	Chromecast	Download	4.04	1.97	1.40
23	Smart TV	Upload	2.37	3.94	1.98
23	Smart TV	Download	2.59	6.65	2.58
23	Chromecast	Upload	3.51	0.69	0.83
23	Chromecast	Download	4.05	2.16	1.47

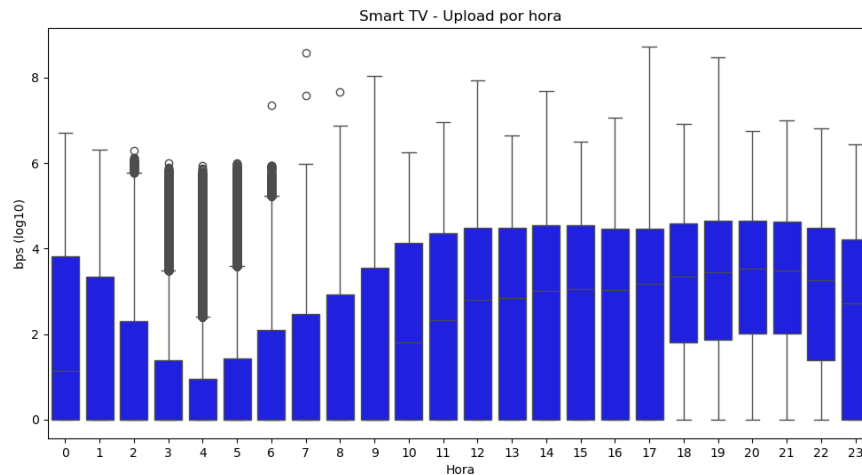
## 3.2 Visualizações Gráficas

Para melhorar a visualização da Tabela 2, os dados foram plotados nos 4 gráficos contidos na Figura 4.

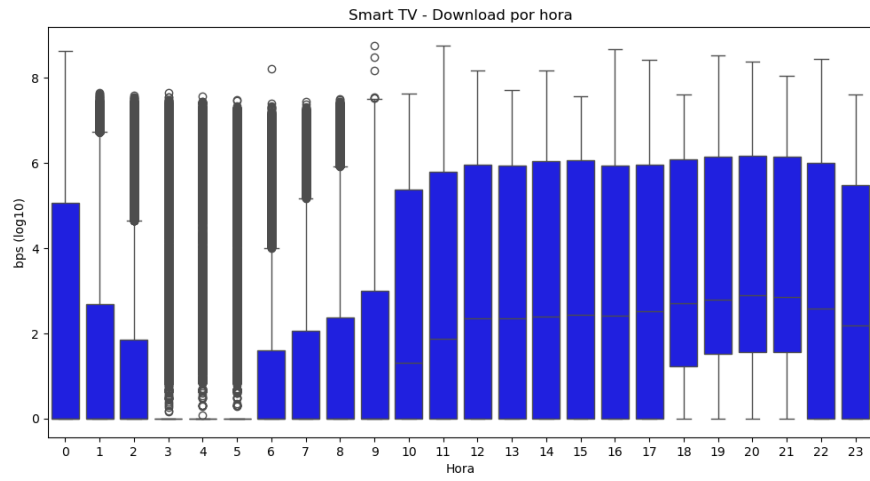


**Figura 4:** Gráficos das estatísticas por horário para Smart TV e Chromecast

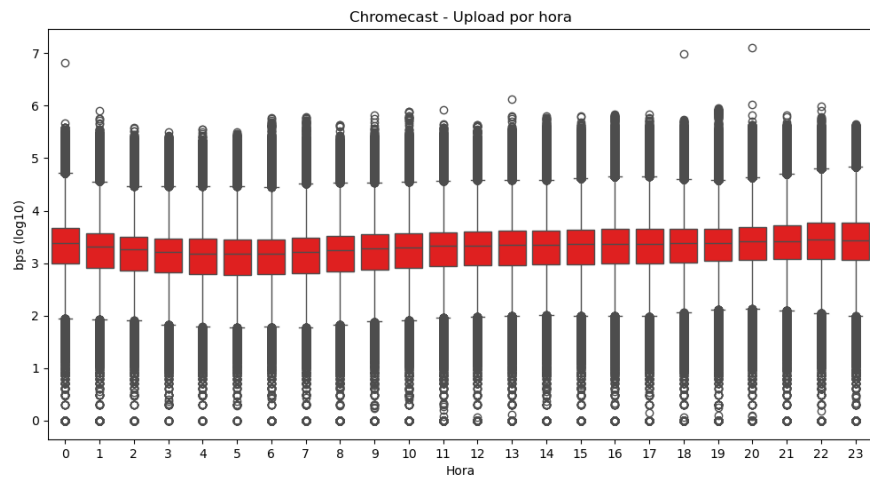
Além disso, foram gerados boxplots para cada hora do dia, separados por tipo de dispositivo e tipo de tráfego. As Figuras 5 e 6 exibem os boxplots das taxas de upload e download para o dispositivo Smart TV, respectivamente. Já as Figuras 7 e 8 mostram os boxplots das taxas de upload e download para o dispositivo Chromecast, respectivamente.



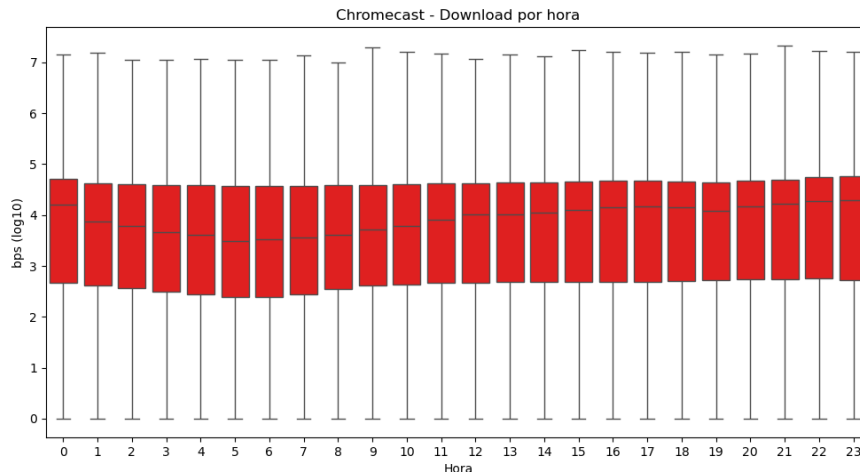
**Figura 5:** Boxplot das taxas de upload para Smart TV



**Figura 6:** Boxplot das taxas de download para Smart TV



**Figura 7:** Boxplot das taxas de upload para Chromecast



**Figura 8:** Boxplot das taxas de download para Chromecast

### 3.3 Análise dos Resultados

A partir da Tabela 2 (e, conseqüentemente, da Figura 4) e dos boxplots das figuras 5, 6, 7 e 8, podemos tirar algumas conclusões importantes sobre o comportamento das taxas de upload e download para os dispositivos Smart TV e Chromecast ao longo das 24 horas do dia:

- **Smart TV:**

- As taxas de download e upload variam ao longo do dia, com uma tendência de aumento nas horas da tarde e noite.
- A média das taxas de download e upload é geralmente menor durante a madrugada e aumenta gradualmente até atingir picos durante a noite (20h tanto para download quanto para upload).

- **Chromecast:**

- As taxas de download e upload para o Chromecast são consistentemente mais altas do que para a Smart TV, especialmente durante as horas da tarde e noite.
- A média das taxas de download e upload é relativamente estável ao longo do dia, em comparação com a Smart TV.
- Os picos de média ocorrem durante a noite (23h para download e 22h para upload), indicando um uso mais intenso da rede nesses horários.
- A variância e o desvio padrão das taxas de download e upload são menores para o Chromecast, indicando uma utilização mais consistente da rede.

Essas observações sugerem que o uso da rede para a Smart TV é mais variável e depende mais do horário do dia, enquanto o Chromecast apresenta um uso mais constante. Isso pode ser devido a diferentes padrões de uso dos dispositivos, onde a Smart TV pode ser mais utilizada para atividades que demandam maior largura de banda em horários específicos, como streaming de vídeos em alta definição durante a tarde e noite.

## 4 Caracterizando os Horários com Maior Valor de Tráfego

Nesta seção, os horários com maior valor médio das taxas de upload e download para cada tipo de dispositivo, Smart TV e Chromecast, foram analisados seguindo os passos descritos.

### 4.1 Passo 1: Seleção dos Horários

A partir dos gráficos de médias por hora apresentados Figura 4, os horários com maior valor médio para cada taxa e dispositivo foram identificados:

- **Smart TV:**

- dataset 1: composto pelo horário com maior média de upload (20:00).
- dataset 2: composto pelo horário com maior média de download (20:00).

- **Chromecast:**

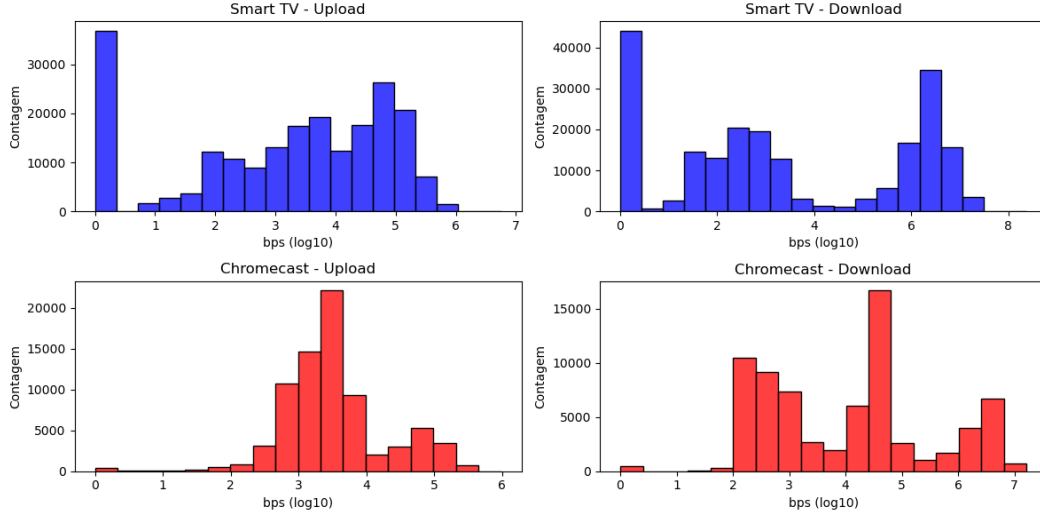
- dataset 3: composto pelo horário com maior média de upload (22:00).
- dataset 4: composto pelo horário com maior média de download (23:00).

### 4.2 Passo 2: Histogramas dos Dados

Histogramas foram gerados para cada um dos 4 datasets criados no Passo 1. O método de Sturges (Equação 1) foi utilizado para determinar o número adequado de bins, obtendo-se os seguintes valores:

- **Dataset 1**(Smart TV - Upload): 19 bins
- **Dataset 2**(Smart TV - Download): 19 bins
- **Dataset 3**(Chromecast - Upload): 20 bins
- **Dataset 4**(Chromecast - Download): 20 bins

Esses histogramas destacam os padrões de distribuição das taxas de upload e download para os horários selecionados, conforme ilustrado na Figura 9.



**Figura 9:** Histogramas das taxas de upload e download para os horários selecionados.

### 4.3 Passo 3: Estimativa de Parâmetros via MLE

Os parâmetros das distribuições Gaussiana e Gamma foram estimados utilizando o método de Máxima Verossimilhança (*Maximum Likelihood Estimation* - MLE) para os quatro conjuntos de dados. Esses valores foram aplicados na modelagem das distribuições, permitindo uma análise comparativa com os dados observados.

O MLE consiste em determinar os parâmetros que maximizam a função de verossimilhança, que mede a probabilidade dos dados observados para um conjunto de parâmetros. Para simplificar os cálculos, o logaritmo da verossimilhança (*log-likelihood*) é utilizado. A derivada da *log-likelihood* é igualada a zero para encontrar os estimadores de máxima verossimilhança dos parâmetros.

As funções de densidade de probabilidade para as distribuições Gaussiana e Gamma são definidas como:

- **Gaussiana:**

$$f(x) = \frac{1}{\sigma\sqrt{2\pi}} e^{-\frac{(x-\mu)^2}{2\sigma^2}} \quad (2)$$

onde  $\mu$  é a média e  $\sigma^2$  é a variância da distribuição.

- **Gamma:**

$$f(x) = \frac{\beta^\alpha x^{\alpha-1} e^{-x/\beta}}{\Gamma(\alpha)} \quad (3)$$

onde  $\alpha$  é o parâmetro de forma,  $\beta$  é o parâmetro de escala, e  $\Gamma(\alpha)$  é a função Gamma, definida como  $\int_0^\infty x^{\alpha-1} e^{-x} dx$ .

Para a distribuição Gaussiana, as estimativas dos parâmetros são obtidas de forma direta:

$$\hat{\mu} = \frac{1}{n} \sum_{i=1}^n x_i, \quad \hat{\sigma}^2 = \frac{1}{n} \sum_{i=1}^n (x_i - \hat{\mu})^2 \quad (4)$$



No caso da distribuição Gamma, a estimação dos parâmetros  $\alpha$  (forma) e  $\beta$  (escala) pelo MLE não possui soluções analíticas simples e geralmente requer métodos numéricos iterativos. O parâmetro  $\alpha$  é frequentemente estimado utilizando o método de Newton-Raphson aplicado à função de log-verossimilhança, enquanto  $\beta$  pode ser estimado a partir de  $\alpha$  e da média amostral  $\bar{x}$  [1]:

$$\hat{\beta} = \frac{\bar{x}}{\hat{\alpha}} \quad (5)$$

Para realizar essas estimativas, foi utilizado o método ‘gamma.fit’ da biblioteca ‘scipy.stats’ do Python. Este método aplica o MLE de forma eficiente, empregando algoritmos de otimização numérica para determinar os parâmetros que melhor se ajustam aos dados observados. A função ‘gamma.fit’ retorna estimativas para os parâmetros de forma ( $\alpha$ ) e escala ( $\beta$ ) da distribuição Gamma, facilitando a modelagem estatística dos dados.

Os resultados das estimativas de parâmetros via MLE para as distribuições Gaussiana e Gamma são apresentados na Tabela 3.

**Tabela 3:** Resultados das estimativas de parâmetros via MLE

Dataset	$\hat{\mu}$	$\hat{\sigma}^2$	$\hat{\alpha}$	$\hat{\beta}$
Dataset 1 (Smart TV - Upload)	3.1243	3.1687	0.4937	6.3308
Dataset 2 (Smart TV - Download)	3.3961	6.2013	0.4078	8.3307
Dataset 3 (Chromecast - Upload)	3.5215	0.5957	8.7654	0.4019
Dataset 4 (Chromecast - Download)	4.0527	2.1594	4.7261	0.8577

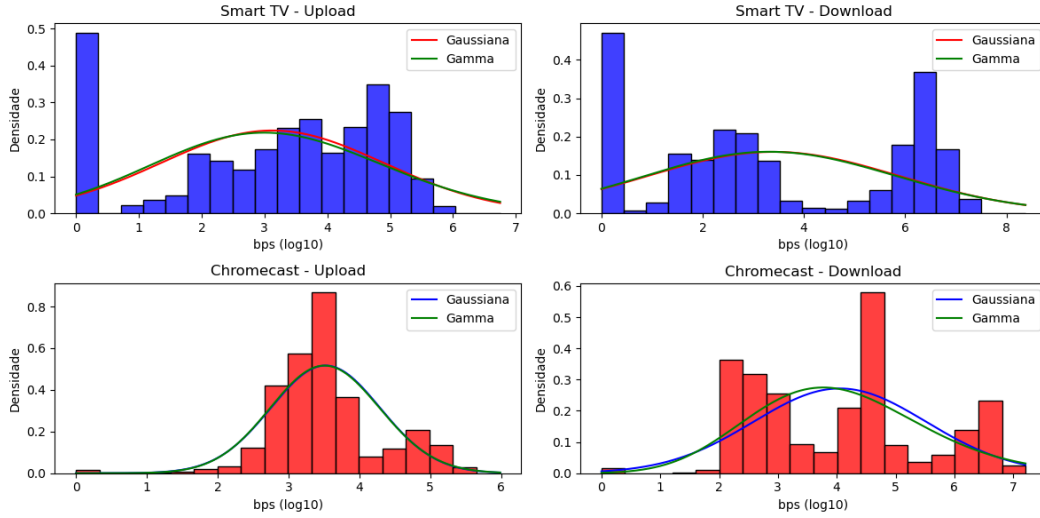
Além disso, as *log-likelihoods* e *likelihoods* para as distribuições Gaussiana e Gamma são apresentadas na Tabela 4. As *log-likelihoods* foram calculadas primeiro, para evitar erros de *underflow* ao calcular as *likelihoods*, substituindo a multiplicação de valores muito pequenos pela soma de seus logaritmos naturais.

**Tabela 4:** Likelihoods ( $L$ ) e Log-likelihoods ( $\log[L]$ ) para os Datasets

Dataset	$\log[L]$ Gaussiana	$L$ Gaussiana	$\log[L]$ Gamma	$L$ Gamma
Dataset 1 (Smart TV - Upload)	-424282	0.0	-406884	0.0
Dataset 2 (Smart TV - Download)	-495658	0.0	-387106	0.0
Dataset 3 (Chromecast - Upload)	-89011	0.0	-119219	0.0
Dataset 4 (Chromecast - Download)	-129603	0.0	-141373	0.0

#### 4.4 Passo 4: Gráficos de Densidade

Gráficos contendo o histograma dos dados e as funções de densidade Gaussiana e Gamma, parametrizadas pelos valores obtidos no Passo 3, foram gerados e estão disponíveis na Figura 10. Esses gráficos possibilitam uma comparação visual da aderência de cada distribuição aos dados reais.



**Figura 10:** Histogramas dos dados e funções de densidade parametrizadas para as distribuições Gaussiana e Gamma.

Observando a figura, é possível notar que nenhuma das distribuições propostas (Gaussiana e Gamma) se ajusta bem aos dados observados. A distribuição Gamma inclusive explode para valores muito baixos dos dados referentes a Smart TV.

Voltando na figura 9, é possível observar que os dados não seguem uma distribuição normal e nem gamma, o que pode ser um dos motivos para a má aderência das distribuições propostas. Uma sugestão seria utilizar uma mistura de distribuições para representar os dados, da seguinte forma:

- **Dataset 1 (Smart TV - Upload):** Mistura de uma Gaussiana e uma Gamma.
- **Dataset 2 (Smart TV - Download):** Mistura de três Gaussianas.
- **Dataset 3 (Chromecast - Upload):** Mistura de duas Gaussianas.
- **Dataset 4 (Chromecast - Download):** Mistura de uma Gaussiana e duas Gammas.

## 4.5 Passo 5: Probability Plots

*Probability Plots* foram criados para comparar os dados reais com as distribuições parametrizadas (Gaussiana e Gamma). No total, 8 gráficos foram gerados, permitindo avaliar a adequação das distribuições propostas aos dados.

## 4.6 Passo 6: QQ Plots

*QQ Plots* foram produzidos para comparar os datasets de upload e download entre os dispositivos (Smart TV e Chromecast). A interpolação linear foi utilizada para alinhar os quantis dos datasets de tamanhos diferentes. Esses gráficos permitem a análise das similaridades entre os padrões de tráfego dos dispositivos.

## 4.7 Análise dos Resultados

Com base nos resultados, as seguintes questões foram avaliadas:

1. Quais foram os horários escolhidos para cada dataset?
2. O que foi observado a partir dos histogramas?
3. Quais diferenças e/ou similaridades foram identificadas entre os datasets 1, 2, 3 e 4?
4. É possível caracterizar os datasets por uma variável aleatória conhecida na literatura? Se não, por quê?
5. O que foi observado a partir dos gráficos *QQ Plot* e *Probability Plot*?

## 5 Códigos

Os códigos utilizados em todas as etapas deste projeto estão disponíveis no repositório do GitHub: [https://github.com/lhscaldas/Projeto\\_Probabilidade\\_e\\_Estatistica](https://github.com/lhscaldas/Projeto_Probabilidade_e_Estatistica)

## Referências

- [1] MINKA, T. P. *Estimating a Gamma distribution*. [S.l.], 2002. Disponível em: <<https://tminka.github.io/papers/minka-gamma.pdf>>.
- [2] KOBAYASHI, H.; MARK, B. L.; TURIN, W. *Probability, Random Processes, and Statistical Analysis: Applications to Communications, Signal Processing, Queueing Theory and Mathematical Finance*. [S.l.]: Cambridge University Press, 2011.
- [3] PISHRO-NIK, H. *Introduction to Probability, Statistics, and Random Processes*. Kappa Research, LLC, 2014. ISBN 9780990637202. Disponível em: <[https://books.google.com.br/books?id=3yq\\_oQEACAAJ](https://books.google.com.br/books?id=3yq_oQEACAAJ)>.